



北京大学

本科生毕业论文

题目： 文本图像中公式模块的自动定
位研究

姓 名： 张浩然

学 号： 1500010684

院 系： 数学科学学院

专 业： 信息与计算科学

研究方向： 深度学习

导 师： 马尽文教授

二〇一九年六月

版权声明

任何收存和保管本论文各种版本的单位和个人，未经本论文作者同意，不得将本论文转借他人，亦不得随意复制、抄录、拍照或以任何方式传播。否则一旦引起有碍作者著作权之问题，将可能承担法律责任。

摘要

公式是我们在文本中比较关心的对象，而行间公式，即单独处于一行中的公式在很显著的位置，行内公式，即处于文本段落中的公式则不容易快速分辨。现在的在线科技资料大都以PDF或图片的形式存在，那么问题就变成了从文本图片中定位行内公式。若把这看作一个目标检测的问题，则可以使用经典的目标检测算法去解决这个问题，从整张文本图片或者段落图片中直接框定行内公式的位置，这么做的好处在于将这个问题泛化为端对端的问题，可以直接使用现有模型和方法去完成，减少繁杂的预处理。但文本公式检测问题有其特殊性，如文本图片的格式是规整的，不像自然场景图片那么复杂，如果能够针对文本图片公式检测这个问题的特点来制定解决办法，那么可以期望得到比直接使用目标检测算法更好的结果。为此我们先做图像预处理，将图片进行单词分割，得到单个单词图片，再使用分类器CNN对单词图片进行分类，选出公式图片。由于只进行图片分类，简单的网络结构就能获得不错的结果，大大减少了网络训练的时间，从而可以使用更多的数据来达到更好更广泛的效果。但同时，数据预处理就变得复杂，而且难以有通用的方法，针对各种特殊情况都要有相应的解决方法。故本文的主要工作为优化数据处理，然后采用CNN网络进行分类，最后得到了不错的实际效果。这个方法也只针对文本图片有效，无法很好地推广到其他问题上去。

关键词：神经网络，公式检测

Automatic Detection of Formula Blocks in a Text Image

Zhang Haoran (Department of Information and Computation Sciences)

Directed by Prof. Ma Jinwen

ABSTRACT

The formula is the object we care about in the text. While the inter-row formula is in a very prominent position, the in-line formula is not easy to distinguish quickly. Most of the current online scientific and technical information exists in the form of PDFs or images, so the problem becomes the positioning of the in-line formula from text Images. If think of this as a problem of object detection, we can use the classic object detection algorithms to solve this problem and directly frame the position of the formulae from the whole image or paragraph images. The advantage of this method is to generalize the problem to an end-to-end problem, which can be directly completed by using existing models and methods to reduce complicated preprocessing. However, formula detection has its particularity. For example, the format of the text image is regular. It is not as complicated as the natural scene image. By formulating a solution according to the characteristics of formula detection, we can expect better results than using the existing object detection algorithms. To do this, we first do image preprocessing, divide the image into word images, and then use the classifier CNN to classify the word images and select out the formula images. Since we only need images classification, a simple network structure can get a good result as well. And the time spent on network training is greatly reduced, so that more data can be used to achieve better and general results. At the same time, however, data preprocessing becomes complicated, and it is difficult to have a common method, and there must be a corresponding solution for various special cases. So the main work of this thesis is to optimize the methods of data preprocessing, and use a proper CNN to classify the images, in the end we get a not bad result in reality. This method is valid only for the image of text, and can not be well promoted to other issues.

KEYWORDS: CNN, formula detection

目录

第一章 背景介绍	1
第二章 数据与模型设计	3
2.1 数据处理	3
2.1.1 tex文件到图片	3
2.1.2 单词分割及数据预处理	4
2.2 网络结构与算法	5
2.2.1 激活函数与损失函数	5
2.2.2 神经网络优化算法	6
2.2.3 网络结构	9
第三章 实验结果分析与改进	11
3.1 过采样vs欠采样	11
3.2 网络改进	11
3.3 CTPN的启发	12
3.4 更精确的单词切割	13
3.5 网络训练结果比对	14
3.6 实际效果演示	16
第四章 总结与展望	21
参考文献	23
北京大学学位论文原创性声明和使用授权说明	25

第一章 背景介绍

现在的科技资料多以PDF格式或图片格式传播，在使用这些文本资料时，其中的公式部分往往是我们关心的地方，而快速找到并获取其中的公式则是一项有意义的工作。我们在这里试图利用神经网络来解决文本图片中公式定位这个问题。

在处理文本图片中定位公式位置这个问题上，我们准备了两个方向的方法。一是将文本图片切割为段落图片后使用目标检测方法来定位公式的位置，二是在预处理上更进一步将文本图片切割为单词图片，再将单词图片使用CNN分类。

在目标检测这个问题上有许多的经典算法。基于卷积神经网络的目标检测开始于2013年RBG的论文[1]提出的RCNN。RCNN的算法过程大致为生成候选区域后使用CNN进行特征提取，将提取的特征通过SVM分类，最后通过边框回归(bounding-box regression)得到精确的目标区域。此算法的主要问题在于候选区域过多，大量的区域重复和无效造成了巨大的计算浪费。另一个问题在于使用CNN需要输入固定尺寸的图片，而图片的截取和拉伸等操作造成了输入信息的丢失。之后有许多算法以此为基础进行了改进。

首先是空间金字塔池化SPP-Net[2]，在全连接层前加入了一层将输入的特征图池化为特定尺寸的输出的特殊池化层，通过输入的尺寸与需要的输出尺寸计算出所需的池化核和步长从而实现了输出固定尺寸至全连接层。而之前的卷积层并不依赖于输入图片的尺寸，从而实现了任意尺寸的输入。实际上是将原图片多尺度采样输入带SPP层的CNN进行训练，也是被称为金字塔的原因。

之后RBG又提出了新的Fast-RCNN[3]，借鉴了SPP的思路提出了ROI池化层，以及将SVM分类改为使用softmax进行分类，并将分类和边框回归整合，不再独立进行训练。这个算法将除了候选框提取的所有步骤整合在一起进行训练，并引入类似SPP的池化层解决了不同尺寸的输入问题，使得训练效果大大提高了。

之后Faster-RCNN[4]又更进一步，提出了RPN解决了候选框提取的问题。RPN的特点在于不是在原图上进行候选框提取，而是在特征图上进行。原图通过CNN后得到特征图，然后在特征图上进行候选框提取，并评估候选框是否包含目标，只将感兴趣的区域输入到ROI池化并进行下一步的分类学习。这样做可以让网络自己学习生成候选区域，大大减少选取候选区域的冗余，提高了预测时间，使得预测可以做到实时预测。至此候选框选取，CNN，ROI池化，分类与边框回归都整合到一起训练。

YOLO[5]则使用了另外一个思路，直接将整个图像进行训练，不预先进行候选框提取。将整个图像分为 $S \times S$ 的网格，物体的中心所在的网格负责该物体的检测，直

接经过神经网络得到输出，输出包含物体位置、类别和置信度信息。YOLO全称为You Only Look Once，体现了该算法的简洁和迅速。该算法相对于RCNN系列的算法拥有检测速度快和背景误检率低等优势，但在准确率和物体位置精度上较差。而且YOLO只在一个网格尺度上进行回归，缺乏多尺度信息，容易丢失小目标。

SSD[6]在YOLO之上做了许多改进，采用了多尺度特征图的检测来适应不同大小的物体，最后的输出不是使用全连接层而是用卷积来取得检测结果，同时引入了Faster R-CNN中anchor的概念，设置不同长宽比和尺寸的先验框。这些改进使得SSD同时获得了较高的准确率和速度。

除了使用目标检测的方法，另一方面从单词切割入手，提前获得单词的位置，再将单词图片利用CNN分类。我在这个方向上自己写了具体的代码实现，下面对这个方法进行详细的叙述。此论文的所有代码实现位于<https://github.com/IshmaelHeathcliff/find-inline-formulae>。

第二章 数据与模型设计

2.1 数据处理

2.1.1 tex文件到图片

我们首先从网上获得了大量的论文Tex文件。Tex语法中行内公式有明确的标注，通过正则表达式找到其中被 $\$...\$$ 框住的公式部分，由于我们的关注点只在于行内公式，故被 $\$...\$$ 框住的行间公式部分需要排除，找到后在公式外加上可以框住公式的LaTeX命令，并分为使用红框和使用白框两个版本。使用白框的是我们进行训练的主要数据，红框版本是获得标记使用的。为了支持我们新增的LaTeX命令，仍需要使用正则表达式检测是否含有我们需要的宏包，若没有则在开头加上。接着将处理完毕的Tex文件编译为PDF文件，在编译过程中发现大量的编译失败，主要原因一是使用的Tex文件较为久远，主要为2001-2003年的数据，编译格式和使用的宏包各种各样或已淘汰，缺少相应的宏包支持，二是有的文件的编码格式不是utf-8，而编译时统一以utf-8为标准，故导致了读取失败。成功编译的PDF中也有少量缺失正文，只有公式存在。而且由于为了迅速编译，故所有文件只进行了一次编译，这样所有的参考文献引用都不会生效，参考文献的编号都变成了?，认为不影响本工作，所以忽略该问题。

然后将PDF文件转化为png图片。由于预计使用工具magick来进行转化，而为了全程使用python编程，故使用了magick的python包PythonMagick，而此包缺少文档说明，故一开始转化为png时遇到了困难，故使用的是jpg格式，这样输出的图片数据占用比较大。在查阅了许多解决方法后才终于得到了png文件，发现相同尺寸下png格式的图片只有jpg格式的几分之一，大大减小了硬盘占用，加快了数据传输与处理。

以上方法都写在了文件texf_topng.py中。宏包使用了re, os, pdflatex, PythonMagick, PyPDF2, 并导入了自己写的图片处理工具文件。re为使用正则表达式的宏包，pdflatex是将tex编译为pdf的宏包，PythonMagick是将pdf转化为png的宏包，PyPDF2是辅助pdf分页生成图片的宏包。在生成图片的同时裁去了图片的空白边框并通过生成的图片是否有红框来删去了不带公式的图片，以减少不必要的冗余数据。单个tex文件处理使用文件ttp.py，批量文件处理使用ttpb.py。通过以上方法生成了红框版本和白框版本共计16万张图片，每张图片的生成速度在一秒以内，实际生成时使用并行处理。本方法由于还要将论文图片分割为单词，故实际使用的图片数没有这么多。

2.1.2 单词分割及数据预处理

单词分割主要分为两个部分，文行分割与行内单词分割。图片的一行通常指图像矩阵的一行数据，故将文本中的一行称为文行。以下处理均使用灰度图像。行和是指图像矩阵一行中非空白元素的比例，由于提前做了图像反转，白色为0，黑色非零，故只需要将一行二值化后求和除以列数，故称为行和。文行的中心行和指文行中间一行的行和，同理，开始行和与结尾行和指文行开始行与结尾行的行和。

在处理之前首先判断图片方向，认为一般只有正向和逆时针90度方向。由于灰度图像白色为255，黑色为0，故先将图片矩阵反转为白色为0，黑色为255，再分别求得图片矩阵的行和和列和。如果图象是正向的，空白边框也已经被截去，故认为行和中0的比例应大于列和中0的比例，因文行和文行之间有固定的空白，而单词与单词之间的空白位置每行不一。以此作为是否要将图片旋转的依据。此判断只对整页文本图片有效果，若进行单行或单个单词测试则无效，故设置为可以关闭。

文行分割这个问题上，文行与文行之间有明显的空行，以空行作为文行的边界即可。由于只关心行内公式，故文行分割还有更多的要求，需要在分割时排除行间公式和一些特殊的文行，如一条直线、图表、页码、特殊符号等。故以空行作为边界分割后，又以中心行和，前四分之一行和，开始行和，结尾行和和行高度作为标准来去掉不符合需求的文行。行间公式和一条直线这种情况，一般高度与正常的文行有差别，行间公式大部分高度比较大，一条直线、特殊符号等则是高度比较小，故筛选出高度在平均高度一定范围内的文行。而页码则是中心行和极小，实际上行间公式的中心行和也小于正常文行的中心行和。同时行间公式的前面通常是一片空白，故同时使用前四分之一中心行和来同时作为辅助标准。开始行和和结尾行和则是为了去掉图表。在文行分割上如果出现更多的特殊情况还需要更多的标准，这里只写出了我实际遇到的问题。

文行分割后，就是对每一文行进行单词分割了，我们使用的都是英文文档，故这里只考虑英文的单词分割。同样预先进行图像反转，使得白色为0，黑色非零。单词分割与文行分割有相似之处，同样是利用单词与单词之间的空白。但容易注意到一行内的空白有三种情况，单词与单词间的空白、字母与字母间的空白和另外一些比较大的空白，如一行结尾后还有大片空白，每段开始文行的开头空白等。这些空白的位置使用列和就可以轻易找到，接下来就是在这些空白中筛选出单词间空白。由于最后是利用空白的位置来分割出单词，故认为大片空白和单词间空白是同一性质。这里使用的是最小二乘法，通过公式(2.1)获得使得 $S(w)$ 最小的宽度 w ，然后认为在这宽度以上的都是用来分割单词的空白。这样做的效果还不错，大多数单词都可以分割出来，少数情况下会出现一个单词被分为两个，而常见的情况是一个长公式被分割为多个单词。

$$S(w) = \sum_{i=1}^n (w_i - w)^2 \quad (2.1)$$

以上单词分割不仅可以分割出单词图片，同时可以获得分割出的文行的位置和每个文行中每个单词的位置，结合去除空白边框时获得的左上角的非空白元素的位置，可以将每个单词的位置精确地还原。

将白框版本的图片进行了单词分割，获得了单词图片及其位置，在通过其位置信息在红框版本的图片中检查该单词是否被红框框住，以此获得每个单词的标注。这样我们将原本的图片整理成了单词图片、单词位置信息和单词标注信息，训练神经网络只需要单词图片和标注信息，故将这部分做成tfrecords文件以备后续使用。由于一张论文图片中非公式单词比公式单词要多得多，故这里采用了过采样，将公式图片直接复数拷贝，使得公式图片与非公式图片的数量接近。过采样后实际使用的单词图片为100万张左右。

2.2 网络结构与算法

2.2.1 激活函数与损失函数

神经网络中有两个重要的部分，一个是激活函数，一个是损失函数。激活函数是实现网络非线性化的重要手段，常用的激活函数有sigmoid函数、tanh函数和ReLU函数(2.2)等。其中sigmoid函数和tanh函数由于当输入比较大时会有梯度接近0的问题，即梯度消失，使得非监督训练的效果较差。

$$relu(x) = \begin{cases} 0 & x < 0 \\ x & x \geq 0 \end{cases} \quad (2.2)$$

ReLU有计算简单迅速而且不会有梯度消失问题的优势。ReLU仍有些问题，一是若训练发散，会迅速增大或减少到nan，使得结果报错。故开始训练前应仔细检查网络的设置，确保能够收敛。二是ReLU函数将小于零的值直接变为0，使得该输出都为正值，故可能会造成某些神经元的失活，不管怎样训练都为0。同时ReLU的输出都为正值，使得收敛比较困难。故针对ReLU有许多的改进的函数。Leaky ReLU函数为在ReLU的基础上，在 $x < 0$ 时加上一个较小的斜率。PReLU则是使得这个斜率作为一个可以训练的参数加入网络中，RReLU的做法则是将这个斜率根据均匀分布随机抽取。PReLU的输出更更接近0，收敛速度比ReLU更快，故我使用的是PReLU。

分类问题使用的最普遍的的损失函数是交叉熵函数(2.3)

$$H(p, q) = - \sum_x p(x) \log q(x) \quad (2.3)$$

要使用交叉熵函数需要输出和目标都满足概率分布，故交叉熵函数一般结合softmax函数(2.4)将输出和目标都归一化。

$$\text{softmax}(y)_i = y'_i = \frac{e^{y_i}}{\sum_{j=1}^n e^{y_j}} \quad (2.4)$$

在二分类时也可以使用sigmoid函数(2.5)将输出转化到 $[0, 1]$ 之间满足概率分布。

$$\text{sigmoid}(y) = \frac{1}{1 + e^{-y}} \quad (2.5)$$

在二分类时，softmax的表达式为

$$\text{softmax}(y)_1 = \frac{e^{y_1}}{e^{y_1} + e^{y_2}} = \frac{1}{1 + e^{y_2 - y_1}} \quad (2.6)$$

故神经网络输出的两个值的差与只输出一个值是等价的，差别在于前者的全连接层会有更多的训练参数。这里实际使用的是sigmoid函数。

2.2.2 神经网络优化算法

指数衰减学习率

神经网络的学习率代表神经网络参数的更新速度，较大的学习率使得参数每次更新的幅度较大，收敛得更快，但可能会导致无法收敛到最小，每次更新的时候都跳过了能够收敛到最小值的范围；学习率太小又会导致参数更新太慢，网络收敛速度太小。一般而言，开始时希望学习率比较大，使得网络快速收敛，然后学习率逐渐降低，使得收敛更为准确。故使用了阶梯状指数衰减学习率(2.7)，将学习率乘上一个指数衰减率，使得学习率随着训练次数逐渐降低。 η_0 为初始学习率， δ 为衰减系数， s 为训练次数， s_d 为衰减速度。即每经过 s_d 次训练，学习率会以 δ 的比例衰减。实际为每学习1000轮将学习率乘以0.9。

$$\eta = \eta_0 \delta^{\lfloor s/s_d \rfloor} \quad (2.7)$$

批标准化batch normalization

神经网络中的数据在经过每层的处理后数据分布可能会发生变化，这一过程被称为Internal Covariate Shift[7]。这种数据分布的变化传递到后层网络中，后层网络也需要不停地去适应这种分布的变化，这就导致了网络的收敛速度下降。如果采用的是饱和和激活函数，如sigmoid或tanh，数据分布变化会导致数据变大进入梯度饱和。而如果是ReLU激活函数，则会有数据分布差异大，深层网络收敛困难的问题[8]。

由于以上问题，我们使用了batch normalization方法，即对每层的数据做规范化。对一层中的一批数据的每个通道 $\{x_i : 0 \leq i \leq n\}$ ，做如下规范化操作

$$\mu = \frac{1}{n} \sum_{i=1}^n x_i \quad (2.8)$$

$$\sigma^2 = \frac{1}{n} \sum_{i=1}^n (x_i - \mu)^2 \quad (2.9)$$

$$\hat{x}_i = \frac{x_i - \mu}{\sqrt{\sigma^2 + \varepsilon}} \quad (2.10)$$

ε 是为了处理方差为0的特殊情况。这样规范化后每一层网络的数据分布都变得稳定，但数据的表达能力却缺失了。为了获得原有信息，BN又引进了两个可以在网络中进行学习的参数 γ 和 β ，使得规范化后的数据可以通过变换(2.11)恢复表达能力。

$$\tilde{x}_i = \gamma \hat{x}_i + \beta \quad (2.11)$$

当 $\gamma^2 = \sigma^2, \beta = \mu$ 时， $\tilde{x}_i = x_i$ ，即是完全恢复为原来的数据。这样我们既使得每层的分布变得稳定，又能够保证数据的表达能力。规范化是在一个batch的每个通道上做，而偏置项对于一个通道而言是相同的，故只需要对卷积输出做规范化，然后加上偏置项就可以了。

BN使得网络的每层数据的分布变得稳定，后层网络不必去适应输入的变化，实现了每层的独立学习，提高了整个网络的学习速度。在使用ReLU激活函数时，由于ReLU函数的输出都非负，故输出平均值远离0，网络不容易收敛，若不使用BN，使用MSRA初始化30层以上的网络也难以收敛[8]。同时BN处理后，将降低网络中的参数的敏感度，使得调参，如初始化、学习率等的设置更为容易，不用担心参数的变化随着网络层数加深被放大。使用BN后，也不用担心数据经过多层网络后落入饱和性激活函数的梯度饱和区，从而可以缓解使用sigmoid, tanh等激活函数的梯度消失问题。同时BN并没有完全保留原始数据的信息，而是通过学习参数 γ, β 来一定程度上保留数据的表达能力，这就相当于给数据加入了随机噪音，可以起到正则化的效果，防止数据的过拟合。在

原作者的结果中，BN可以在没有dropout的情况下同样达到很好的泛化效果，而且网络的收敛速度提高了很多。[7]我在网络中也同样使用了BN。

滑动平均

滑动平均，或指数加权平均是一个使得神经网络模型在测试数据上更加健壮(robust)的方法，在计算网络输出时，使用的网络模型不是当时的模型，而与一段时间内的历史模型有关。变量 v_t 在更新为 t 时刻的取值 θ_t 时，使用公式(2.12)

$$v_t = \beta v_{t-1} + (1 - \beta)\theta_t \quad (2.12)$$

上式中 $\beta \in [0, 1)$ ， β 一般取值较大，即变量在更新时使用了上一时刻的取值，做了某种平均，这样不需要保存一段时间内的每个网络就可以获得某种网络的均值。在网络训练的后期，网络会在一定范围内波动，使用滑动平均后的网络变量来测试数据就能提高测试结果的表现和稳定性。注意到在网络训练的前期我们希望模型可以更新得更快，故希望衰减率较小，来使得变量快速学习更新。Tensorflow提供了`tf.train.Exponential-movingAverage`函数来实现滑动平均，还提供了参数`num_updates`来实现动态设置衰减率的大小，使得网络前期衰减率较小，可以快速学习更新，训练到一定程度后则使用较大的衰减率来实现更好的滑动平均。

过拟合优化

大规模的神经网络有一个重要的难题存在，那就是容易过拟合。神经网络在学习中容易过度学习训练数据的特征，将数据中的噪音也一起学习下来，从而在测试集上的表现效果和训练集上差异较大。

处理过拟合有许多的方法，其中上述的BN就能在一定程度上取得效果。另外一个常用的方法是正则化。正则化是在损失函数后加上一个刻画模型复杂度的函数。

$$J(\theta) = J_0(\theta) + \lambda R(w) \quad (2.13)$$

θ 代表神经网络中所有要学习的参数， w 表示网络权重， $J_0(\theta)$ 代表原损失函数， $R(w)$ 使用中在网络复杂程度的刻画， λ 为模型复杂损失在总损失中的比例。再使用优化算法，如梯度下降时，不是直接优化 $J_0(\theta)$ ，而是同时优化 $R(w)$ ，为的是减小模型的复杂程度，使得模型没法刻画全部的数据信息。若网络的权重值较小，即使输入增大一些，输出也不会变化太多。而若权重值较大，输入的较小变化也会被放大。

常用的正则化有 $L1$ 正则化(2.14)和 $L2$ 正则化(2.15)。

$$R_1(w) = \|w\|_1 = \sum_i |w_i| \quad (2.14)$$

$$R_2(w) = \|w\|_2^2 = \sum_i |w_i|^2 \quad (2.15)$$

$L1$ 正则化和 $L2$ 正则化都能够缓解过拟合，不同之处在于 $L1$ 正则化会让参数变得稀疏，即许多地方为0。这是因为 $L1$ 正则化为方形，有许多突出的棱角，这些棱角容易成为优化的结果，而这些棱角上的取值是稀疏的。 $L2$ 正则化则是平滑的，不会使得参数变得稀疏，而且 $L2$ 正则化是可导的，优化更简单。实践中常常同时使用 $L1$ 和 $L2$ 正则化。我只使用了 $L2$ 正则化。

除了正则化，另一个常用的防止过拟合的优化方法是dropout。[9]dropout形式简单，就是以一定概率使得神经元失活，即输出为0，dropout在防止过拟合问题上的效果非常好。为了解决过拟合问题，会想到训练多个模型做组合取平均等，这样就需要大量时间去训练模型。而dropout以一定概率使神经元失活，就相当于取了网络的子网络，如果是有 n 个节点的神经网络，每个节点以50%的概率失活，则相当于 2^n 个网络的集合，而要训练的参数却是不变的，这样看来dropout就取得了很好的抗过拟合的效果。但也可以预见，使用了dropout后模型的收敛速度会变慢，需要更长的训练时间。另一种观点认为，dropout相当于引入了噪声从而增加了样本数量。一般认为卷积层的参数较少，而且是提取数据特征，一般不使用dropout，故我只在全连接层使用了dropout。

2.2.3 网络结构

这个网络要处理的是一个二分类问题，即把公式单词图片和非公式单词图片分类。在分类问题上有许多经典的CNN模型，我主要参考了LeNet、AlexNet和VGGNet。

LeNet是最早用来数字识别的CNN，是经典的mnist数据集分类模型。LeNet使用了两个卷积层，两个池化层，和两个全连接层。使用的卷积核大小分别为 5×5 和 3×3 ，输入图片尺寸为 32×32 ，分为10类，最后使用softmax交叉熵损失函数。LeNet使用的激活函数为饱和性激活函数，池化选择的是平均池化。LeNet在mnist数据集上的表现很不错。

AlexNet比LeNet采用了更深的网络结构，使用了5个卷积层，3个池化层和3个全连接层。AlexNet所使用的卷积核尺寸有 11×11 , 5×5 , 3×3 ，池化核尺寸则都为 3×3 ，并且池化核步长为2，使得池化层输出有重叠和覆盖，提高数据特征的丰富性。AlexNet相比LeNet使用了ReLU作为激活函数，解决了深层网络梯度弥散问题，验证了ReLU的效

果，也是从这开始将ReLU发扬光大。AlexNet还在全连接层使用了dropout来避免过拟合，实践证实了dropout的效果。池化则选择的是最大池化来避免平均池化的模糊化。

VGGNet则是利用较小尺寸的卷积核和池化核，并不断加深网络来提高网络性能。VGGNet全部使用了 3×3 的卷积核和 2×2 的池化核，构筑了16~19层的深层网络，并随着网络加深不断加大通道数。VGGNet的网络结构简单，超参数少，几个小尺寸卷积核的连续使用的效果也比一个大尺寸卷积核要好。VGGNet验证了网络深度对性能的提升，但是网络参数众多，训练速度比较慢。

初步决定使用的是LeNet相似的网络结构，即两个卷积层，两个池化层，两个全连接层，考虑到输入图片的尺寸的变化，改变了卷积核的大小，实际如图2.1^①

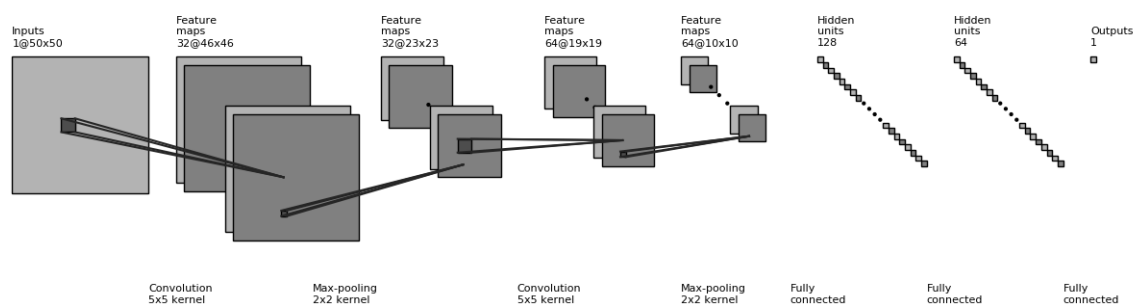


图 2.1 LeNet网络结构示意图

① This figure is generated by adapting the code from https://github.com/gwding/draw_convnet

第三章 实验结果分析与改进

3.1 过采样vs欠采样

之前我们使用的是直接拷贝原图片的过采样，这样一共生成了100w万张以上的单词图片，但其中大部分公式图片都是重复的，而且重复度非常高，这样不仅数据多样性低，而且十分容易过拟合，使得在测试集上效果变差。虽然论文图片中大部分都是单词，但单词之间差异远小于公式之间的差异，故我们可以采用欠采样，即在单词图片中随机抽取与公式图片等量的图片。欠采样大大减少了相同程度训练下的数据量，在同等数据量下则大大提高了数据的多样性。虽然导致单词的多样性降低了，但单词的特征本身就比较公式特征要简单，故采用欠采样将极大地提高数据的合理性。我们使用欠采样生成了50万左右的单词图片，而使用的原始论文图片则远多于过采样所使用的数量。

3.2 网络改进

在参考了AlexNet和VGGNet网络模型之后，结合自己的实际情况，测试时间有限，也没有服务器支持，故自行设计了一个相对简单的网络。网络一共10层，四层卷积层，两层池化层，两层全连接层和一层输出层，此外在最后一个卷积层和第一个全连接层之间加入了一层Spp，前面Spp-Net中也提到了spp层，网络结构如图3.1^①。spp层

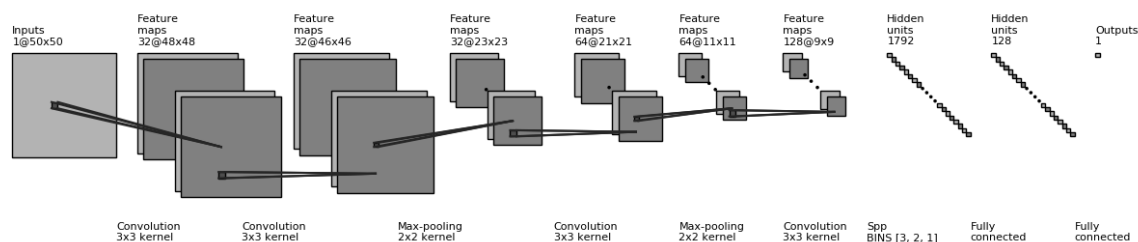


图 3.1 我的网络结构示意

是使用了动态尺寸的池化核将任意尺寸的输入池化到固定尺寸的输出。首先需要有一个BINS来决定输出的尺寸，通常会选择多个输出尺寸来获得更多的信息。如输入图

^① This figure is generated by adapting the code from https://github.com/gwding/draw_convnet

片尺寸为 $x \times x$ ，需要的输出尺寸为 $n \times n$ ，则计算

$$ksize = \lceil \frac{x}{n} \rceil \quad (3.1)$$

$$stride = \lfloor \frac{x}{n} \rfloor \quad (3.2)$$

再利用 $ksize$ 和 $stride$ 做最大池化。对 $BINS$ 中每个输出尺寸都做了最大池化后，把这些数据排成一行输出到全连接层。[2]最开始是为了实现输入不同尺寸的图片到网络中进行训练所以想使用 spp ，但由于 $tensorflow$ 的局限，一是如果输入不同尺寸的图片，就没法使用 $batch$ ，只能每次输入一个图片；二是 spp 需要使用图片的动态尺寸，生成动态池化核来进行池化，但 $tensor$ 自带的池化函数只支持静态池化核，需要自己重写池化函数，又遇到了使用 $tensor$ 写循环语句的困难。考虑到图片伸缩对本问题的影响不大，故最后改为将输入单词图片都 $resize$ 到 50×50 ，但仍然保留 spp 层。尽管 spp 层也需要每次输入的图片尺寸相同，但如果输入图片都变为另外一个尺度，网络也不需要改动，可以直接利用原网络。这样就可以实现多尺度维度的输入来提高效果。

相对于之前的 $LeNet$ ，网络深度更深，输入图片尺寸的设计也更为灵活，连续使用了两个 3×3 的卷积核来代替原来的一个 5×5 的卷积核则是基于 $VGGNet$ 的思想。

在损失函数上，考虑到我们的问题中精确度比较重要，故在损失函数中降低了正样本的比重。原本的损失函数为(3.4)，新的损失函数为(3.5)

$$loss = -(y \log y' + (1 - y) \log(1 - y')) \quad (3.3)$$

$$loss' = -(\delta y \log y' + (1 - y) \log(1 - y')) \quad (3.4)$$

其中 y 为数据的标签，正样本为1，负样本为0，我们的数据中公式图片为正样本。 y' 为网络的输出经 $sigmoid$ 函数处理后得到的预测为正样本的概率。 δ 则是我们加入的一个比重，用来调节损失函数。当我们令这个比重小于1时，若网络的输入为正样本，则损失函数更小。

3.3 CTPN的启发

在独立做完以上工作后，查阅论文时发现在OCR领域的一些文字识别的工作。如CTPN[10]、CRNN等。CRNN主要做的是文字识别工作，而CTPN做的是文字检测。

CTPN做的是自然场景图象中的水平文字检测，主要是在Faster RCNN的基础上结合双向LSTM生成的模型。首先是通过VGG提取特征，将生成的feature map经过一些处理后输入双向LSTM中，生成既包含CNN学习到的空间特征，也包含LSTM学习到的

序列特征的特征图。再将特征图通过类似Faster RCNN的RPN网络，获得建议文本位置(text proposals)。CTPN生成的是宽度不变的anchor，通过寻找anchor中心和高度来获得一个小尺寸的建议文本位置，如图3.2，上面是传统的RPN的输出，下面为CTPN输出的建议文本位置，可以看见一个文本有许多小宽度的建议位置，接下来只需要通过文本线构造办法，将这些连接起来形成一个文本检测框。CTPN的工作是自然场景图

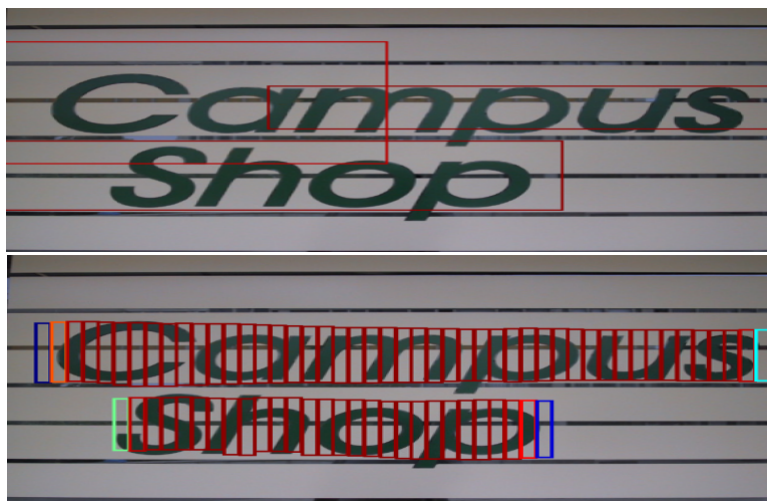


图 3.2 CTPN proposals

象中的文字检测，用在我们的论文图片中有大材小用的样子。但是CTPN的方法给予了我一些启发。在处理单词图片时我们直接将单词图片resize到了固定长宽。单词图片长宽比例很不均匀，若直接resize到方形，原本长宽比例很大的单词和长宽比例接近1的单词就显得不对等，而公式图片的特征变化更为明显。在CTPN中并不直接检测整个文本，而是一段一段地检测文本。故在处理图像时把长宽比大于2的单词分割为两个图片，前者长宽比为1比1，后者为剩下的，递归此操作，最终得到的图片长宽比都不大于2，这样再resize损失的特征大大减少。

3.4 更精确的单词切割

数据预处理将直接影响到最终的结果，特别是文行的切割对结果影响非常大。主要原因是把行间公式和正常文行分开比较困难，而我们的数据中行间公式没有被标记为正类，故测试时网络可能将行间公式预测为正类，而降低precision。在没有进行数据平衡的测试集上，行内公式的数量远小于单词数，而行间公式的数目也不小，而且一个行间公式就会被切割为大量的单词，如果不能很好地排除掉行间公式，尽管网络实际效果很好，precision也不会太高。

首先对于文行单词分割，最大的问题在于没有处理大空白，如果空白数量比较少，

则可能单词间空白和字母间空白一起被排除掉，而一行的大空白一般只有一两个，故在处理时只需要将最大的两个空白改为第三的值，然后再进行最小二乘法，就可以较好地处理这种情况。又由于以上CTPN的启发，单词切割的精确性要求大大降低，只需要位置信息能够还原就足够了。文行分割的问题比较复杂，而且很难做到完全准确的分割。行间公式的情况比较复杂，想简单地通过几个标准把行间公式完全排除比较困难，可以尝试用机器学习去自动学习行间公式的特征从而得到更好的结果，这里只使用了由经验总结出的一些方法。

得到了用空行分割的文行后再继续进行进一步的筛选，需要使用一些指标。之前我们使用的是文行的高度、中心行和、前四分之一行和、开始行和以及结尾行和。中心行和是一个不太好的指标，只采用文行的中心行和来进行判断其准确度比较低，主要是中心行和缺乏代表性，虽然总的来说行间公式的中心行和一般比较小，但如果遇到分数线则会大大增加中心行和，而且中心行和很不稳定，波动的范围比较大。为了解决这个问题首先想的是再中心行附近一定范围内随机取一行来求和来作为标准，这种方法十分不稳定，甚至会导致较大的误差，不能保证结果。最后使用的是文行所有行和的平均，成为平均行和，平均行和比较稳定，区分度也比较好，相应的前四分之一行和也使用平均行和。至于行和高度更是一个极不稳定的指标，尽管有的行间公式高度很大，但有的则与目标文行没有差别，甚至有的目标文行如果含有一些公式符号则比行间公式的高度还要大。因此在筛选时的主要标准是平均行和，高度只作为一个辅助标准。同时为了更精确，求高度的分界线时也使用最小二乘法。平均行和和前四分之一行和相比，后者又具有更好的区分性，因为行间公式开头一段通常是空白，因此主要标准为前四分之一行和，使用平均行和和高度来进行辅助。这样调整之后效果有了很大的改进，但仍然无法完全排除行间公式，故测试结果仍然比实际要差，所以我们将通过直接查看在论文图片上的效果来人工评估一下模型效果。

3.5 网络训练结果比对

测试结果评估采用了4个指标，accuracy、precision、recall、F1 Measure。TP为预测正确的正类，FP为预测错误的正类，TN为预测正确的负类，FN为预测错误的负类。accuracy为所有图片预测正确的概率，precision为预测为正类的图片中预测正确的比

例， $recall$ 为所有正类中被预测正确的比例， $F1$ 为 $precision$ 和 $recall$ 的调和平均。

$$accuracy = \frac{TP + TN}{TP + FP + TN + FN} \quad (3.5)$$

$$precision = \frac{TP}{TP + FP} \quad (3.6)$$

$$recall = \frac{TP}{TP + FN} \quad (3.7)$$

$$F_1 = \frac{2TP}{2TP + FP + FN} \quad (3.8)$$

$$(3.9)$$

为了能够查看在实际图片上的效果，可使用文件`formula_find.py`。这个文件将输入的图片先做空白边框去除和单词分割，然后将图片依次传入训练好的网络模型中，得到结果后再使用每张图片的位置信息在原图像上进行标注，对于被分割的公式，在重建时直接将相邻的被预测为公式的单词合并起来，然后用红框标注。

Os使用过采样的数据，训练数据571029张单词图片，测试图片12637张。Us为使用欠采样的数据，训练数据404383张单词图片，测试图片12637张。以上两种没有使用方形单词分割，Sq为使用了方形单词分割作为训练和测试集，训练数据465974张单词图片，测试图片22391张。Us与Sq使用的训练原始数据，即没有经过预处理的数据相同，但方形单词分割会得到更多的图片。Os因为过采样，所以原始数据比后两者要少。三种模型都以100大小的batch进行5000次训练，结果发现Sq各方面优于Us，Us优

Set	训练集	测试集
Os	571029	12637
Us	404383	12637
Sq	465974	22391

图 3.3 各数据集数据量

于Os。但Os结果实际上已经还不错，故提升的幅度比较小。

Set	accuracy	precision	recall	F1
Os	0.9901	0.9316	0.9987	0.9640
Us	0.9904	0.9343	0.9975	0.9648
Sq	0.9946	0.9418	0.9995	0.9698

图 3.4 测试集上结果

3.6 实际效果演示

三个网络的实际表现都已经非常不错，实际准确率非常高，故接下来主要演示一下结果不准确的部分及其原因。

三个模型有些错误的地方是共同都有的，这些错误主要有两个原因，一是由于文行分割不精确造成的，一是由于网络学习的结果不准确造成的。

首先是由于文行分割导致的问题，有些行和过小的行被排除了，如果其包含公式就不会被检测，这样的情况如图3.5(a)(b)(d)。然后是一些公式符号单独成行，但这一行也被排除了，如图3.5(c)。还有有的行间公式无法排除掉，造成如图3.5(e)的情况。另外除了文行分割还有由于单词分割无法准确分别的状况，如图3.5(f)中的 $-$ ，因为单词分割时只能与 M 一起判断。

网络无法准确判断的情况主要是一些字母符号和标点符号，如图3.6(a)中的实数集符号 \mathbf{R} ，图3.6(b)(c)中的句点，这两种情况是三种方法都无法准确识别的。

尽管三种方法都使用相同的文行分割，但在Os中出现的将行间公式误判却比另两种方法要多，如图3.7(a)，这一个行间公式在另两种方法中并没有被识别为公式。Os的另一处错误则是在如图3.7(b)中，对1.这个序号的错误判断，但其他数字的序号则没有被判断为公式。

Us的网络没有将单独的整数集符号 \mathbf{Z} 识别为公式，如图3.8(a)(b)，另两个方法没有这个问题。另外Us出现了将原本不是公式的部分识别为公式，如图3.8(c)中的 $l = 1$ ，在原始的标注中只有 l 被标记为公式部分，另两个方法也只识别了 l ，但Us将 $= 1$ 也包含其中。

Sq由于做了单词方形分割，所以会出现一些别的方法没有的问题，主要是将一些部分字母识别为公式，实际的问题是大写字母 T 被识别为公式，如图3.9(a)(c)。图3.9(b)中则比其他两个方法多错误识别了一个句点。

has two distinct real roots if $0 \leq \chi_0 < \chi\left(\frac{P_{cr}}{2}\right)$, $\frac{P_{cr}}{2} < \tilde{p}_1 \leq \pi$ and $0 \leq \tilde{p}_2 < \frac{P_{cr}}{2}$. These roots serve also as nontrivial solution to the equation (33) and thus give the bound state of type II in which the wave function oscillates and decays exponentially as $|n_1 - n_2| \rightarrow \infty$. For $P_{cr} < P \leq \pi$ such a solution always exists. Similar solutions corresponding to $-\chi\left(\frac{P_{cr}}{2}\right) < \chi_0 < 0$ can be found with any $-\pi \leq P < -P_{cr}$.

(a)

At $M=4$, there are 24 coefficients of $d_{\{P\}}$ type and other nonvanishing terms with coinciding values of indices can be arranged in three sets. The first two are given by elements with three coinciding indices and can be found from (42) by using known expressions for $d_{\{P\}}$ type,

(b)

It is worth noting that \tilde{f} and Ξ are some polynomials in m . Indeed, it follows from the definition of \tilde{f} and Ξ that

(c)

if $l > 3$,

$$S_2^{(2)}(\Phi) = -\frac{1}{2} \sum_{s_1 \neq s_2} h'_{s_1 s_2} \sum_{p \neq s_1, s_2}^N (h_{s_1 p} - h_{s_2 p}) \Phi(s_1, s_2, p) P_{s_1 s_2}.$$

(d)

$$\begin{aligned} D(x) &= d[\psi'(x) - (\frac{h\phi'_N(\lambda)}{2} + \zeta_N(\lambda) + \nu)\psi(x)], \quad E(x) = \frac{d\psi^2(x)}{2} [1 - h\psi(x+\lambda)\psi(-x-\lambda)], \\ r(x) &= t_0 d\psi(x) \square (N \square 3) \wp_N(x) + h_1 (N \square 2) \tau(x) + (\tau(x) \square h_1) (2x\zeta_N(N/2) \square N\zeta(x)) + s], \\ \tau(x) \square \zeta_N(x+\lambda) \square \zeta_N(x) \square \zeta_N(\lambda), \quad h_1 \square h\phi'_N(\lambda)/2, \quad s \square -(N \square 2) \wp_N(\lambda) \square \sum_{l=1}^{N-1} \wp_N(l), \end{aligned}$$

(e)

In [20], the explicit construction of the differential operator which intertwines (3) at (5) and $\ell=1$ with the usual M -dimensional Laplasian has been proposed, and the functions of the type (35) have been represented in the form

(f)

图 3.5 文行分割导致的问题

where $\{p, q\}$ are canonically conjugated momenta and positions of particles, $l \in \mathbb{R}$ and the two-body potentials are of the form:

(a)

N . The absolute value of the second period π/κ is a free parameter of the model [17]

(b)

periodic boundary conditions). The existence of M functionally independent integrals of motion in involution follows from the evident relations $d(\text{tr} L^n)/dt = 0$, $1 \leq n \leq M$. The fact that all these conserved quantities are in involution also follows from functional

(c)

图 3.6 网络学习的问题

$$(\psi)_{jk} \equiv \xi(z_j)\delta_{jk}, \quad \phi_{jk} \equiv \varphi(z_j)\delta_{jk}, \quad (m)_{jk} \equiv \mu(z_j)\delta_{jk}, \quad (\rho)_{jk} \equiv (1 - \delta_{jk})P_{jk},$$

(a)

References

[1] W.Heisenberg. Z.Phys. 49,619 (1928)

(b)

图 3.7 Os的问题

where $j, k \in \mathbb{Z}$. At these conditions, only ferromagnetic case $J > 0$ is well defined. The spectrum to be found consists of excitations over ferromagnetic ground state $|0\rangle$ with all spins up which has zero energy. The energy of one spin wave is just given by Fourier transform of the exchange in (23),

(a)

where $r_p = -\omega p/4\pi$ and $l \in \mathbb{Z}$.

(b)

Let us start from continuum model (3) with the interaction (5) and $l=1$. The solution can be written in the form

(c)

图 3.8 Us的问题

Note that the only difference of $F(PQ)$ and $F(P)$ is in first two terms in last brackets. This allows one to rewrite the last formula as

(a)

The Yangian operator of the nearest-neighbor chain on an infinite lattice found in [51] can be obtained as a limit of the operator (89) as $\kappa \rightarrow \infty$. In the limit of $U \rightarrow \infty$ for half-filled band, where number of fermions coincides with the number of lattice sites, one can set $S_j^0 = 1$ and recover in the trigonometric case the Yangian for the Haldane-Shastry model [48]. Thus such rather unlike models as Haldane-Shastry chain and the infinite Hubbard chain with nearest-neighbor hopping are in fact connected: they could be considered as limiting cases of more general model with the hopping given by elliptic functions

(b)

The first functional equation (93) is just the Calogero-Moser functional equation (10) with known general analytic solution. The second functional equation (94) always has solutions for E_{jk} if q and D are given by solutions of (93). Each function in these and "boundary" equations can be expressed via basic solution to (93), and the role of "boundary" equations is to specify the real period of the corresponding Weierstrass functions, which turns out to be N . The basic solution reads

(c)

图 3.9 Sq 的问题

第四章 总结与展望

本文首先从两个方向上给出了定位论文图片中公式位置的方法，其一是使用目标检测算法从段落图片中定位公式，其二是先进行单词分割，再将单词图片利用CNN分类，最后再利用单词图片位置信息还原。本文简述了目标检测的经典算法，然后详细实现了第二种方法，并对该方法进行了优化，使得结果很好。实现的具体步骤首先是进行数据的准备，我们的图片都是从latex源码经处理后编译为pdf再转化为png，生成的每张图片都有两个版本，白色框版本用来作为数据，红色框版本用来生成数据标注。在利用网络进行训练之前首先对论文图像进行预处理，即单词分割，包括文行分割和文行内单词分割两个步骤，都是利用空白来进行分割然后进行筛选。文行筛选最重要的指标是文行的前四分之一平均行和，辅助标准为平均行和和高度。单词分割则是主要利用空白的宽度经过最小二乘法得到单词间空白，注意要舍取最大的两个空白来得到更佳的效果。在参考了CPTN的方法后，将长单词图片分割为方形单词图片来保留更多的单词特征。单词分割完后就要生成数据库，由于单词图片和非单词图片之间的数量差距比较大，需要先进行采样处理，分别尝试了过采样和欠采样。采样完后生成tfrecords文件作为网络的输入。网络结构一开始采用了LeNet的7层结构，之后参考AlexNet和VGGNet进行了改进，结合自己的实际情况采用了10层的网络结构，卷积核都使用了小尺寸。网络中使用了多种优化算法，PReLU、指数衰减学习率、滑动平均、正则化、dropout、批标准化等。一共使用了三种方法生成数据来进行训练，一是过采样，一是欠采样，而是欠采样基础上使用方形单词分割。一开始使用了错误的标签来进行训练，结果过采样的效果非常差，但欠采样和方形单词分割仍能得到还不错的结果。使用正确的标签来进行训练后，三个方法的效果都变得非常好，数据结果上来看方形单词分割优于只欠采样优于过采样。虽然测试集的单词图片数有一两万张，但实际的论文图片只有47张，故通过实际比对各方法在实际论文图片上的效果，并和原本的带红框的原始标注进行对比，找出了错误的地方并进行了相应的分析。这个方法相比使用目标检测有许多显著的优点，一是精确度比较高，绝大多数检测对象都能够准确识别类别，且位置信息非常精确，因为是由实际单词分割给出位置而不是网络学习找出位置。另外网络结构简单，训练所需时间非常短。

尽管本文的在测试集上的效果已经非常显著，但仍有一些固有问题。如文行分割和单词分割不够精确，始终会有漏查单词或者检测多余的行间公式。另外有的单个单词图片难以辨别是否是公式，尤其是字母图片，缺乏上下文信息来进一步判断。若要进一步工作，试图使用更好的方法来区别文行和行间公式，如继续使用神经网络

络来学习文行和非文行的特征。要更精确地判断单词图片是否为公式，则可以尝试如CTPN中使用LSTM等RNN来获得序列信息，从而提高判断能力。

参考文献

- [1] Ross B. Girshick, Jeff Donahue, Trevor Darrell *et al.* “*Rich feature hierarchies for accurate object detection and semantic segmentation*”. *CoRR*, **2013**, abs/1311.2524. <http://arxiv.org/abs/1311.2524>.
- [2] Kaiming He, Xiangyu Zhang, Shaoqing Ren *et al.* “*Spatial Pyramid Pooling in Deep Convolutional Networks for Visual Recognition*”. *CoRR*, **2014**, abs/1406.4729. <http://arxiv.org/abs/1406.4729>.
- [3] Ross B. Girshick. “*Fast R-CNN*”. *CoRR*, **2015**, abs/1504.08083. <http://arxiv.org/abs/1504.08083>.
- [4] Shaoqing Ren, Kaiming He, Ross B. Girshick *et al.* “*Faster R-CNN: Towards Real-Time Object Detection with Region Proposal Networks*”. *CoRR*, **2015**, abs/1506.01497. <http://arxiv.org/abs/1506.01497>.
- [5] Joseph Redmon, Santosh Kumar Divvala, Ross B. Girshick *et al.* “*You Only Look Once: Unified, Real-Time Object Detection*”. *CoRR*, **2015**, abs/1506.02640. <http://arxiv.org/abs/1506.02640>.
- [6] Wei Liu, Dragomir Anguelov, Dumitru Erhan *et al.* “*SSD: Single Shot MultiBox Detector*”. *CoRR*, **2015**, abs/1512.02325. <http://arxiv.org/abs/1512.02325>.
- [7] Sergey Ioffe and Christian Szegedy. “*Batch Normalization: Accelerating Deep Network Training by Reducing Internal Covariate Shift*”. *CoRR*, **2015**, abs/1502.03167. <http://arxiv.org/abs/1502.03167>.
- [8] Yang Li, Chunxiao Fan, Yong Li *et al.* “*Improving Deep Neural Network with Multiple Parametric Exponential Linear Units*”. *CoRR*, **2016**, abs/1606.00305. <http://arxiv.org/abs/1606.00305>.
- [9] Nitish Srivastava, Geoffrey Hinton, Alex Krizhevsky *et al.* “*Dropout: A Simple Way to Prevent Neural Networks from Overfitting*”. *Journal of Machine Learning Research*, **2014**, 15: 1929–1958. <http://jmlr.org/papers/v15/srivastava14a.html>.
- [10] Zhi Tian, Weilin Huang, Tong He *et al.* “*Detecting Text in Natural Image with Connectionist Text Proposal Network*”. *CoRR*, **2016**, abs/1609.03605. <http://arxiv.org/abs/1609.03605>.

北京大学学位论文原创性声明和使用授权说明

原创性声明

本人郑重声明：所呈交的学位论文，是本人在导师的指导下，独立进行研究工作所取得的成果。除文中已经注明引用的内容外，本论文不含任何其他个人或集体已经发表或撰写过的作品或成果。对本文的研究做出重要贡献的个人和集体，均已在文中以明确方式标明。本声明的法律结果由本人承担。

论文作者签名： 日期： 年 月 日

学位论文使用授权说明

（必须装订在提交学校图书馆的印刷本）

本人完全了解北京大学关于收集、保存、使用学位论文的规定，即：

- 按照学校要求提交学位论文的印刷本和电子版本；
- 学校有权保存学位论文的印刷本和电子版，并提供目录检索与阅览服务，在校园网上提供服务；
- 学校可以采用影印、缩印、数字化或其它复制手段保存论文；
- 因某种特殊原因须要延迟发布学位论文电子版，授权学校在 ☐ 一年 / ☐ 两年 / ☐ 三年以后在校园网上全文发布。

（保密论文在解密后遵守此规定）

论文作者签名： 导师签名： 日期： 年 月 日